



بیستمین کنفرانس اپتیک و فوتونیک ایران
و ششمین کنفرانس مهندسی و فناوری فوتونیک ایران
۸ تا ۱۰ بهمن ماه ۱۳۹۲ - دانشگاه صنعتی شیراز



طراحی و ساخت سلول جذبی چند بازتابی با آینه‌های استوانه‌ای برای بیناب‌نمایی

محمدحسین اسدیان، سعید قوامی صبوری و علیرضا خورسندی

دانشگاه اصفهان - گروه فیزیک

چکیده - یک سلول جذبی چند بازتابی که از یک آینه‌ی استوانه‌ای جلویی با یک سوراخ مرکزی ورود/خروج پرتو و یک آینه‌ی پشتی تشکیل شده است. از سلول جذبی چند بازتابی برای افزایش طول برهم‌کنش پرتو با محیط در بیناب‌نمایی جذبی استفاده می‌شود. رهیافت اصلی برای مشخصه‌یابی این سلول استفاده از انتشار پرتو گوسی دارای آستیگماتیسم است. در این مقاله با استفاده از رهیافت ماتریسی به چیدمان مناسب از یک سلول چند بازتابی دست یافته و یک نمونه‌ی آزمایشگاهی آن را ساخته و مشخصه‌یابی کرده‌ایم.

کلید واژه - آینه‌ی استوانه‌ای، بیناب‌نمایی، سلول جذبی چند بازتابی.

Design and construction of a multipass absorption cell with astigmatic mirrors for spectroscopy

Mohammad Hosein Asadian, Saeed Ghavami Sabouri and Alireza Khorsandi

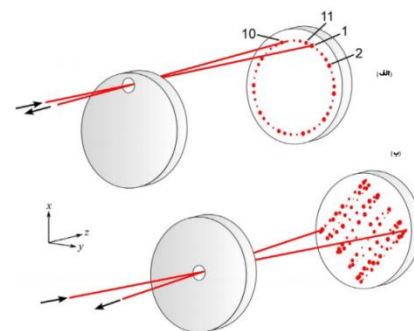
Department of Physics, Isfahan University

Abstract- A multipass optical cell based upon a front cylindrical mirror with a central input/output hole and a rear cylindrical mirror is used for application to laser absorption spectroscopy. The main approach to characterize this cell is use of propagation of a gaussian beam with a general astigmatism. In this paper, we found an appropriate setup for multipass cell by using matrix approach and then we produced & characterized a laboratory sample.

Keywords: cylindrical mirror, multipass absorption cell, spectroscopy

۱- مقدمه

روش‌های گوناگون بیناب‌نمایی اپتیکی برای رسیدن به حداقل غلظت قابل آشکارسازی وجود دارد. در بیشتر این روش‌ها طول مسیر برهم‌کنش نور و ماده بر توان آشکارسازی تأثیر دارد. از طرفی نیازهای مختلف پزشکی، محیط زیست، امنیت، آشکارسازی‌های دقیق‌تر را طلب می‌کند. یکی از روش‌های افزایش طول جذب استفاده از سلول‌های چند بازتابی است. اولین سلول چند بازتابی توسط وایت در سال ۱۹۴۲ ساخته شد [۱]. این سلول از سه آینه کروی تشکیل شده است که پرتو لیزر چند بار در بین آن رفت و برگشت انجام می‌دهد اما این ترکیب دارای اندازه‌ی بزرگ بوده و هم‌راستا کردن آن مشکل است. در سال ۱۹۶۴ هریوت این نوع سلول را به وسیله‌ی دو آینه‌ی کروی ساخت [۲]. در سال ۱۹۹۵ مانوس از آینه‌های استوانه‌ای استفاده کرد که توانست در یک حجم ثابت تعداد بیشتری رفت و برگشت ایجاد کند [۳]. شکل (۱) نشان دهنده‌ی نمایی شماتیک از سلول‌های هریوت و مانوس است.

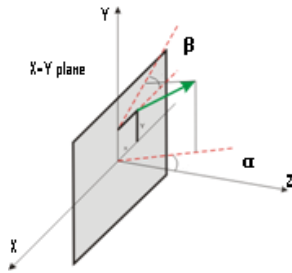


شکل ۱: تفاوت در تعداد رفت و برگشت‌ها در دو نوع سلول (الف) سلول هریوت (ب) سلول مانوس مشاهده می‌شود.

در این مقاله با استفاده از رهیافت مانوس از طریق اپتیک ماتریسی، برای دو آینه استوانه‌ای در یک سلول دو آینه‌ای مکان برخورد پرتو لیزری و همچنین نمایه پرتو در آن نقطه شبیه‌سازی شده است. نتایج برای پارامترهای مختلف مانند شعاع انحنای آینه‌ها، فاصله جدایی آینه‌ها محاسبه و رسم شده است. همچنین یک نمونه‌ی چهار رفت و برگشتی ساخته شده است و با نتایج حاصل از شبیه‌سازی مقایسه شده است.

۲- انتشار پرتو گوسی دارای آستیگماتیسم

ماتریس‌های دو بعدی که برای توصیف موقعیت پرتو و اثر المان اپتیکی بر پرتو در ردیابی پرتو گاوسی استفاده می‌شود برای دستگاه‌هایی مفید هستند که نسبت به چرخش ناوردا باشند. در غیر این صورت این ماتریس‌ها به صورت $r = (x \ y \ \alpha \ \beta)$ تغییر پیدا می‌کنند که در شکل زیر نشان داده شده‌اند (α و β به ترتیب زاویه‌های پرتو با محور z و x هستند).



شکل ۲: معرفی مشخصه‌های ماتریس پرتو در دو بعد

اثر یک المان اپتیکی بر روی مشخصات پرتو به صورت کلی زیر بیان می‌شود [۴]:

$$\begin{pmatrix} x_2 \\ y_2 \\ \alpha_2 \\ \beta_2 \end{pmatrix} = \begin{pmatrix} A_{xx} & A_{xy} & B_{xx} & B_{xy} \\ A_{xy} & A_{yy} & B_{xy} & B_{yy} \\ C_{xx} & C_{xy} & D_{xx} & D_{xy} \\ C_{xy} & C_{yy} & D_{xy} & D_{yy} \end{pmatrix} \begin{pmatrix} x_1 \\ y_1 \\ \alpha_1 \\ \beta_1 \end{pmatrix} \quad (1)$$

برای مثال برای یک عدسی نازک که فاصله کانونی چپ و راست آن متفاوت باشد ماتریس متناظر آن در اپتیک ماتریسی به صورت زیر است [۴]:

$$\begin{pmatrix} 1 & 0 & 0 & 0 \\ 0 & 1 & 0 & 0 \\ -\frac{1}{F_x} & 0 & 1 & 0 \\ 0 & -\frac{1}{F_y} & 0 & 1 \end{pmatrix} \quad (2)$$

میدان یک پرتو گاوسی در مختصات دکارتی که در راستای OZ در حرکت است به صورت زیر است [۵]:

$$E(r, z) = E_0(z) \exp(-0.5ikr^T Q^{-1}r) \quad (3)$$

که در آن:

$$r = \begin{pmatrix} x \\ y \end{pmatrix}, r^T = (x \ y), Q^{-1} = \begin{pmatrix} q_{xx}^{-1} & q_{xy}^{-1} \\ q_{xy}^{-1} & q_{yy}^{-1} \end{pmatrix} \quad (4)$$

$$0.5ikr^T Q^{-1} r = 0.5ik \left(\frac{x^2}{q_{xx}} + \frac{y^2}{q_{yy}} + \frac{2xy}{q_{xy}} \right)$$

$$= 0.5ik \left[\left(\frac{x^2}{R_{xx}} + \frac{y^2}{R_{yy}} + \frac{2xy}{R_{xy}} \right) - i \frac{2}{k} \left(\frac{x^2}{w_{xx}} + \frac{y^2}{w_{yy}} + \frac{2xy}{w_{xy}} \right) \right] \quad (8)$$

در نتیجه سطح مقطع نمایه‌ی پرتو به صورت زیر خواهد بود:

$$\left(\frac{x^2}{w_{xx}} + \frac{y^2}{w_{yy}} + \frac{2xy}{w_{xy}} \right) = cons. \quad (9)$$

۳- سلول چند عبوری اپتیکی به وسیله‌ی دو آینه‌ی استوانه‌ای همسان چرخیده

در سلول چند عبوری که به وسیله دو آینه استوانه‌ای ساخته می‌شود به طور معمول شعاع انحنای آینه اول را در صفحه XZ قرار می‌دهند و شعاع انحنای آینه دوم را در صفحه YZ قرار می‌دهند. برای محاسبه و شبیه سازی این سلول بر اساس رابطه‌ی (۲) به ماتریس‌های زیر نیاز داریم:

$$M_1 = \begin{pmatrix} 1 & 0 & 0 & 0 \\ 0 & 1 & 0 & 0 \\ -\frac{1}{F} & 0 & 1 & 0 \\ 0 & 0 & 0 & 1 \end{pmatrix} \quad (10)$$

$$M_2 = \begin{pmatrix} 1 & 0 & 0 & 0 \\ 0 & 1 & 0 & 0 \\ 0 & 0 & 1 & 0 \\ 0 & -\frac{1}{F} & 0 & 1 \end{pmatrix} \quad (11)$$

ماتریس انتقال و چرخش به ترتیب به صورت زیر است [۴]:

$$D = \begin{pmatrix} 1 & 0 & d & 0 \\ 0 & 1 & 0 & d \\ 0 & 0 & 1 & 0 \\ 0 & 0 & 0 & 1 \end{pmatrix} \quad (12)$$

$$T(\delta) = \begin{pmatrix} \cos(\delta) & \sin(\delta) & 0 & 0 \\ -\sin(\delta) & \cos(\delta) & 0 & 0 \\ 0 & 0 & \cos(\delta) & \sin(\delta) \\ 0 & 0 & -\sin(\delta) & \cos(\delta) \end{pmatrix} \quad (13)$$

رابطه‌های (۹) و (۱۰) به ترتیب مربوط به آینه‌های اول (جلویی) و دوم (پشتی) است. رابطه‌ی (۱۲) نیز برای چرخش آینه به صورت زیر استفاده می‌شود:

$$M_{rotated} = T(-\delta) * M_2 * T(\delta) \quad (14)$$

r ماتریس معرف مکان پرتو، r^T معرف ترانهاده‌ی ماتریس مکان پرتو و Q^{-1} تانسور مختلط انحناست؛ و پارامترهای پرتو گاوسی در راستاهای مختلف ($q_{xy}^{-1}, q_{yy}^{-1}, q_{xx}^{-1}$) به صورت زیر است [۶]:

$$\frac{1}{q_{xx}} = \frac{1}{R_{xx}} - \frac{2i}{kw_{xx}^2}$$

$$\frac{1}{q_{yy}} = \frac{1}{R_{yy}} - \frac{2i}{kw_{yy}^2} \quad (5)$$

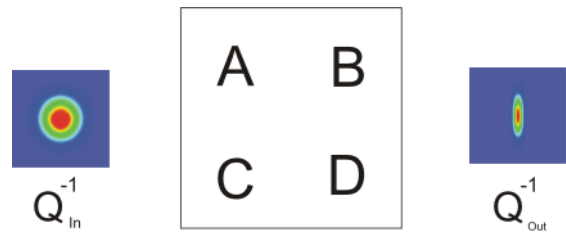
$$\frac{1}{q_{xy}} = \frac{1}{R_{xy}} - \frac{2i}{kw_{xy}^2}$$

که در آن R_{ii} شعاع انحنای جبهه موج است و w_{ii} اندازه‌ی لکه لیزری در راستاهای x و y و راستای خط $y=x$ هستند. اثر یک المان اپتیکی بر مختصات پرتو لیزری در سه بعد از رابطه (۱) تبعیت می‌کند و می‌توان به صورت کلی زیر نمایش داد:

$$\begin{pmatrix} x_2 \\ y_2 \end{pmatrix} = \begin{pmatrix} A & B \\ C & D \end{pmatrix} \begin{pmatrix} x_1 \\ y_1 \end{pmatrix} \quad (6)$$

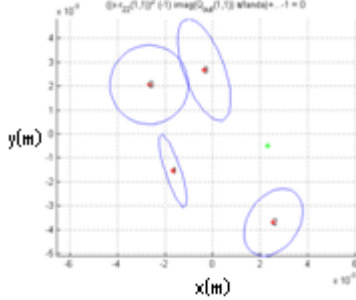
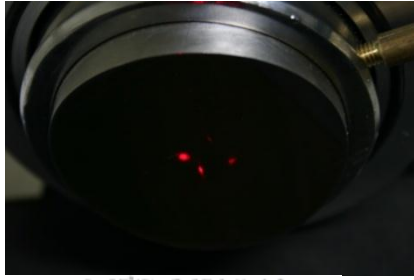
که در آن A, B, C, D هر کدام یک ماتریس دو بعدی است. تغییرات پارامترهای مختلط پرتو در دو بعد (به عبارت دیگر تغییر تانسور مختلط انحنای) بعد از عبور از یک المان اپتیکی از قانون تانسوری ABCD تبعیت می‌کند [۶].

$$Q_{out}^{-1} = \frac{C + DQ_{in}^{-1}}{A + BQ_{in}^{-1}} \quad (7)$$



شکل ۳: اثر المان اپتیکی بر نمایه‌ی پرتو را نشان می‌دهد.

که در آن Q_{in}^{-1} و Q_{out}^{-1} به ترتیب تانسورهای مختلط انحنای قبل و بعد از المان اپتیکی است. رابطه (۳) را می‌توان بسط داد و به دو قسمت حقیقی و موهومی جدا کرد بدیهی است که قسمت موهومی برای فرمول بندی توزیع شدت ($I \propto E * E^*$) از بین خواهد رفت.



شکل ۵: شبیه سازی و لکه های، سلول ساخته شده در آزمایشگاه را نشان می دهد.

مقایسه شبیه سازی و نمایه واقعی هم خوانی خوبی در نمایه لکه ها دارد ولی در مکان برخورد پرتو به آینه اختلاف دارد که علت آن عدم تطبیق دقیق مکان وارد شدن پرتو به سلول، زاویه چرخش آینه دوم و شیب پرتو ورودی، بین برپایی عملی و شبیه سازی است

۴- نتیجه گیری:

در این مقاله با استفاده از رهیافت ماتریسی نمایه و محل برخورد پرتوها در هر رفت و برگشت در سلول چند بازتابی شبیه سازی و ساخته شد.

مراجع:

1. J. U. White, "Long optical path of large aperture," *J. Opt. Soc. Am* **32**, 285-288 (1942).
2. R. L. Fork, D. R. Herriott, and H. Kogelnik, "A Scanning Spherical Mirror Interferometer for Spectral Analysis of Laser Radiation," *Applied Optics* **3**, 1471-1484 (1964).
3. C. Dyroff, *Tunable Diode Laser Absorption Spectroscopy for Trace Gas Measurements with High Sensitivity and Low Drift* (Univ.-Verlag, 2008)
4. N. Hodgson, and H. Weber, *Optical Resonators: Fundamentals, Advanced Concepts, Applications* (Springer, 2005).
5. J. A. Arnaud, and H. Kogelnik, "Gaussian Light Beams with General Astigmatism," *Applied Optics* **8**, 1687-1693 (1969).
6. V. L. Kasyutich, "Laser beam patterns of an optical cavity formed by two twisted cylindrical mirrors," *Applied Physics B* **96**.(۲۰۰۹) ۱۴۸-۱۴۱

برای یک رفت و برگشت کامل در درون سلول ماتریس نهایی به صورت زیر در می آید [۶]:

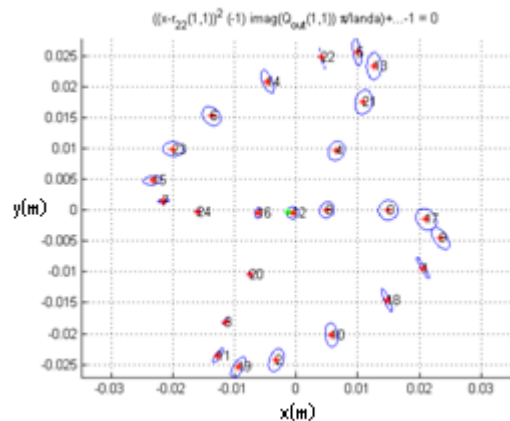
$$C_{roundtrip} = M_1 * D * T(-\delta) * M_2 * T(\delta) * D \quad (۱۵)$$

محاسبه این ماتریس ها و تغییرات پارامترهای مختلط پرتو (به عبارت دیگر تغییر تانسور مختلط انحنای) و مشخصه یابی نمایه پرتو برای هر رفت و برگشت در سلول توسط نرم افزار «Matlab» انجام شد که نتایج آن برای چند پارامتر مختلف رسم شده است. اولین شبیه سازی مربوط به سلولی با مشخصات زیر است، که این مشخصات مطابق با یک برپایی عملی در یک مقاله است تا درستی نتایج را بررسی کنیم [۶]:

$$d = 0.59m, \delta = 38.5^\circ, f_1 = f_2 = 0.918m \quad (۱۶)$$

$$x_1 = y_1 = 0m, \beta_1 = 0^\circ, \alpha_1 = 1.46^\circ$$

لکه های پرتو لیزر در آینه دوم به صورت زیر است:



شکل ۴: لکه های پرتو لیزر در آینه ی دوم با مقادیر رابطه ی (۱۶)

تعداد رفت برگشت با این مشخصات ۲۵ بار است که با توجه به فاصله ی دو آینه، فاصله موثر برابر با ۲۹.۵ متر می شود. سلولی که در آزمایشگاه ساخته شده، برای چهار رفت و برگشت تنظیم شده است که نتیجه ی شبیه سازی لکه های لیزری و برپایی عملی آن با هم مقایسه شده است، این سلول دارای مشخصات زیر است:

$$d = 0.105m, \delta = 11.7^\circ, f_1 = f_2 = 0.1m$$

$$x_1 = 0.0005m, y_1 = 0.001m, \beta_1 = 0.57^\circ \quad (۱۷)$$

$$\alpha_1 = -1.71^\circ$$